

## روشی نوین برای تولید شتاب‌نگاشت مصنوعی زلزله با استفاده از تبدیل ویولت پاکت و شبکه‌های عصبی رگرسیون تعمیم‌یافته

غلامرضا قادری‌امیری (استاد)

دانشکده‌ی مهندسی عمران، دانشگاه علم و صنعت ایران

آریتا اسدی (استادیار)

دانشکده‌ی مهندسی عمران، دانشگاه بزد

عبدالله باقری (دانشجوی دکتری)

دانشکده‌ی مهندسی عمران و محیط زیست، دانشگاه پیازوگ آمریکا

برای طرح سازه‌های مقاوم در مقابل زلزله، یکی از مسائل و موارد مهم تحلیل دینامیکی این سازه‌ها براساس طیف طرح یا روش تاریخچه زمانی است. با توجه به استفاده‌ی روزافزون از تحلیل دینامیکی تاریخچه زمانی برای محاسبه‌ی پاسخ سازه‌ها، تولید شتاب‌نگاشت‌های مصنوعی مناسب به عملت کمبود رکوردهای ثبت شده‌ی زلزله و نیز محدودیت و اشکالات موجود در آن‌ها، امروزه امری ضروری به نظر می‌رسد. در این نوشتار با استفاده از توانایی یادگیری شبکه‌ی عصبی و همچنین با استفاده از تحلیل ویولت به همراه الگوریتم بهترین پایه، روشی برای تولید شتاب‌نگاشت مصنوعی زلزله ارائه شده است. در روش پیشنهادی با استفاده از شبکه‌ی عصبی رگرسیون تعمیم‌یافته (GRNN) اقدام به ساخت شبکه‌ی شده که ورودی آن طیف پاسخ شبه سرعت، و خروجی آن ضرایب ویولت پاکت بهترین پایه‌ی شتاب‌نگاشت متأثر با آن است. در این مدل با آموزش شبکه‌ی شتاب‌نگاشت‌های ثبت شده در ایران و طیف پاسخ آن‌ها به کمک الگوریتم معروفی شده به روش معکوس با ارائه‌ی طیف پاسخ یا طیف طرح به شتاب‌نگاشت متأثر با آن دسترسی خواهیم یافت.

ghodrati@iust.ac.ir  
aasadi@yazduni.ac.ir  
abagheri58@gmail.com

واژگان کلیدی: شتاب‌نگاشت مصنوعی، طیف هدف، تبدیل ویولت پاکت،  
الگوریتم بهترین پایه، شبکه‌ی GRNN.

### ۱. مقدمه

رکوردي در مناطق دیگر بسیار انک است، استفاده از چنین نگاشت‌هایی در مناطق مختلف مناسب نیست. با توجه به کمبود رکوردهای ثبت شده‌ی زلزله در مناطق مختلف ایران، و ضرورت متناسب بودن شتاب‌نگاشت انتخابی با شرایط ساختگاه از نظر محتوای فرکانسی و طیف پاسخ و مدت زمان زلزله، لازم است رکوردهای مصنوعی نیز از این طیف طرح ساختگاه تعیت کنند.

با توجه به سازوکار پیچیده‌ی تولید امواج لرزه‌ی و نحوه‌ی توزیع آن قبل از رسیدن به ایستگاه مورد نظر، بررسی وابسته به زمان می‌تواند برای ساخت شتاب‌نگاشت مصنوعی مناسب باشد. تا به حال روش‌های مختلفی برای تولید رکوردهای مصنوعی زلزله ارائه شده که هرکدام برگرفته از الگویی خاص است. در این زمینه تبدیل فوریه یکی از مهم‌ترین و گستردگرترین کاربردها را دارد. در سال‌های گذشته کوشش‌های بسیاری نیز برای استفاده از روش تحلیل ویولت (موجک ضربه‌ی) در مدل‌های مبتنی بر زمان و تبدیل هیلبرت - هوانگ انجام شده، و نیز پژوهش‌گران زیادی از شبکه‌ی عصبی مصنوعی در این مورد بهره گرفته‌اند. یادآور می‌شود که درخصوص استفاده از

یکی از اشکالات عمده‌ی روش طیف پاسخ برای تحلیل و طراحی سازه‌ها، ناتوانی آن از تأمین اطلاعات زمانی درمورد پاسخ و رفتار سازه است. در بسیاری از موارد، آینه‌های طراحی تحلیل دینامیکی را در مواردی خاص -- همچون عدم تقارن در پلان، عدم توزیع یکنواخت جرم و سختی در ارتفاع و غیره -- برای سازه‌های خاص لازم دانسته‌اند. در طراحی سازه‌های مهم (از قبیل نیروگاه‌های برق هسته‌یی، سدها، سازه‌های بلند، پل‌های کابلی و غیره) معمولاً طرح نهایی براساس تحلیل کامل تاریخچه زمانی تهیه می‌شود. به همین دلیل، و به علت عدم وجود شتاب‌نگاشت‌های مناسب و کافی و کمبود اطلاعات از یک سو و مرایابی استفاده از تحلیل دینامیکی تاریخچه زمانی از سوی دیگر، تهیه‌ی یک سری شتاب‌نگاشت‌های ثبت شده در از موارد ضروری است. همچنین با توجه به این که شتاب‌نگاشت‌های ثبت شده در هر منطقه در برگرینده‌ی شرایط لرزه‌خیزی همان منطقه است و احتمال تکرار چنین

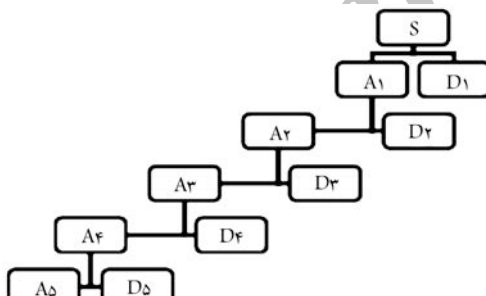
تاریخ: دریافت ۲۷/۰۴/۱۳۸۸، اصلاحیه ۲۹/۰۹/۱۳۸۸، پذیرش ۱۰/۱۲/۱۳۸۸.

### ۳. تحلیل ویولت

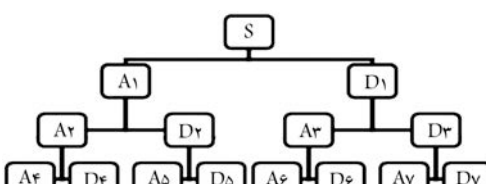
کوشش‌های اخیر در زمینه‌ی تحلیل ویولت به کسب ابزار قدرتمندی برای تحلیل زمانی ارتعاشات در محتوای فرکانسی شده است. با ظهور تبدیل ویولت به عنوان ابزاری قوی برای تحلیل زمان - فرکانس در سال‌های اخیر انجام دقیق‌تر و مناسب‌تر بررسی‌ها در حوزه‌ی فرکانس‌های غیرایستا ممکن شد. تحلیل ویولت همچون روش فوریه یک روش ریاضی پایه است که ابزاری مفید برای پردازش سیگنال‌هاست.<sup>[۱]</sup> اما برخلاف تبدیل فوریه، تبدیل ویولت هم در حوزه‌ی فرکانس و هم در حوزه‌ی زمان تمرکز دوگانه دارد. این نظریه ما را قادر به تشخیص جزئیات فرکانس در هر گام زمانی مشخص می‌سازد.<sup>[۱۰]</sup> ویولت‌ها یک بسط و توسعه‌ی طبیعی از تحلیل فوریه‌اند.<sup>[۱۱]</sup> «ویولت» موج کوچکی است که از زیر آن در زمان تمرکز شده است. نتایج حاصل از بهکارگیری توابع اولیه‌ی مقیاس شده و جابه‌جا شده برای این کار را «تحلیل ویولت» می‌نامند و توابع پایه را «ویولت مادر» نامیده‌اند. تحلیل ویولت یک تکنیک با اندازه زمانی است که می‌توان آن را به‌وسیله‌ی تحلیل زمان - فرکانس ساخت. ویولت‌ها قادرند سری‌های زمانی را به سطوح مختلفی تجزیه کنند که هر سطح محدوده‌ی خاصی از فرکانس را پوشش می‌دهد. این تبدیل مبتنی بر تحلیلی با سطوح دقت متفاوت در زمان و فرکانس است. در شکل ۱ نمونه‌یی از تجزیه‌ی یک سیگنال به‌کمک تحلیل ویولت نشان داده شده است.

#### ۱.۳. تبدیل ویولت پاکت

تبدیل ویولت پاکت تعیین یافته تجزیه‌ی ویولت است که امکان بیشتری برای تحلیل سیگنال ایجاد می‌کند. در تحلیل ویولت، سیگنال به دو شاخه‌ی تقریب و جزئیات تقسیم می‌شود و این روند تکرار می‌شود. برای  $n+1$  سطح، تعداد  $2^n$  مسیر ممکن برای تجزیه یا کدگذاری سیگنال وجود دارد. در تحلیل ویولت پاکت، جزئیات را نیز می‌توان همانند تقریبات تجزیه کرد. حاصل این کار دسترسی به بیش از  $2^n$  روش متفاوت برای کدگذاری سیگنال است. در حقیقت تجزیه‌ی ویولت گوشی‌ی از تجزیه به‌روش ویولت پاکت است. در شکل ۲ نمونه‌یی از تجزیه‌ی یک سیگنال به‌کمک تبدیل ویولت پاکت نشان داده شده است.



شکل ۱. تجزیه‌ی یک سیگنال به‌کمک تحلیل ویولت.

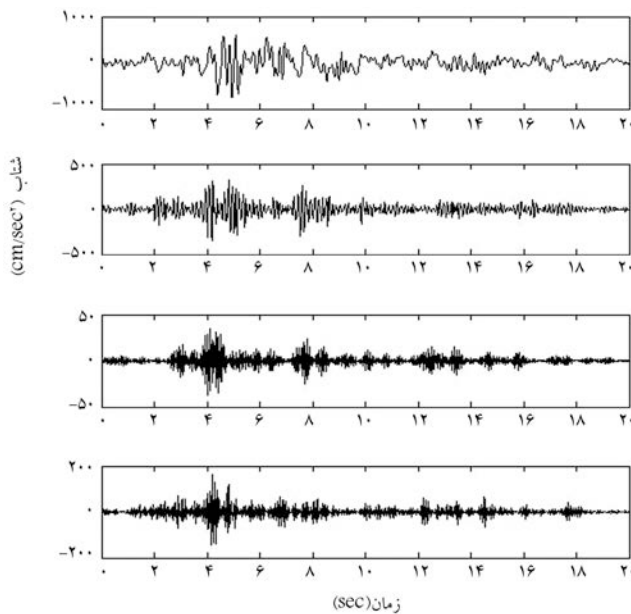


شکل ۲. تجزیه‌ی یک سیگنال به‌کمک تبدیل ویولت پاکت.

شبکه‌ی عصبی مصنوعی و تبدیل فوریه برای تولید شتاب‌نگاشت مصنوعی سازگار با طیف پاسخ تحقیقاتی انجام شده است.<sup>[۱۲]</sup> در خصوص استفاده از شبکه‌ی عصبی در تولید شتاب‌نگاشت مصنوعی نیز مطالعاتی صورت گرفته است.<sup>[۱۳]</sup> از ترکیب تحلیل ویولت و شبکه‌های عصبی نیز برای تولید شتاب‌نگاشت‌های مصنوعی سازگار با طیف پاسخ استفاده شده است.<sup>[۱۴]</sup> در این پژوهش روشی برای تولید شتاب‌نگاشت سازگار با یک طیف طرح، براساس بهکارگیری شبکه‌ی عصبی مصنوعی و تبدیل ویولت پاکت با استفاده از الگوریتم بهترین پایه ارائه می‌شود. برای نشان دادن قابلیت‌های روش پیشنهادی در تولید شتاب‌نگاشت مصنوعی از رکوردهای ثبت شده برای آموزش شبکه‌های عصبی استفاده شده و در نهایت بررسی نتایج عملکرد روش ارزیابی می‌شود.

### ۲. مروری بر روش‌های تولید شتاب‌نگاشت مصنوعی

تولید شتاب‌نگاشت مصنوعی به‌وسیله‌ی پژوهش‌گران متعدد و به روش‌های گوناگون مورد بررسی قرار گرفته است. در بیشتر الگوهای ارائه شده یک سری رکوردهای مصنوعی براساس نظریه‌ی ارتعاشات تصادفی تولید شده و در نهایت به‌گونه‌ی اصلاح می‌شوند که طیف پاسخ آن شبیه به طیف هدف باشد. در همه‌ی این روش‌ها هدف از روند پیشنهادی، اصلاح مکرر یک نمونه رکوردهای شتاب است تا بر طیف پاسخ خاصی منطبق شود. باید توجه داشت که انتخاب مناسب‌ترین مدل بستگی به عوامل زیادی دارد. رفتار ثابت‌شده حرکات شدید زمین به پارامترهای بسیاری چون سازوکار پیدایش، ساختار زمین، میزان انرژی آزادشده، شدت زلزله، شرایط محلی حاکم، نوع شکست گسل، فاصله از مرکز زلزله، نحوه‌ی گسترش امواج و عوامل دیگر بستگی دارد. اولین تلاش‌ها برای تولید شتاب‌نگاشت‌های مصنوعی توسط باکرایفت انجام شد و محققین دیگری همچون بوگانف، هوذر و چنینگر با استفاده از تابع پوش و تعریف فیلترهای مختلف این مطالعات را ادامه داده‌اند.<sup>[۱۵]</sup> به‌منظور تولید شتاب‌نگاشت‌های مصنوعی مدل‌های تصادفی مختلف ایستا و غیرایستا برای بررسی حرکات لرزه‌یی زمین و تولید رکوردهای مصنوعی به‌طور وسیعی در مراجع و منابع به کار گرفته شده است. با توجه به این که در مهندسی سازه و زلزله پدیده‌هایی مانند زلزله، انفجار، ضربه و باد جزء پدیده‌های اتفاقی محسوب می‌شوند و رفتار آن‌ها از نظم خاصی پیروی نمی‌کند، تلاش‌هایی برای قانون‌مندکردن و الگوسازی این پدیده‌ها به‌منظور شناخت، ارزیابی و پیش‌بینی رفتار این فرایندها صورت پذیرفته است. برای تولید رکوردهای مصنوعی زلزله نیز روش‌های مختلفی وجود دارد که به مدل‌های ژئوفیزیکی و مدل‌های تصادفی<sup>[۱۶]</sup> و مدل‌هایی با استفاده از هوش مصنوعی تقسیم می‌شوند. از آنجا که اصول نظری مدل‌های ژئوفیزیک هنوز بسط نیافرته‌اند، مدل‌های تصادفی امروزه کاربرد بیشتری دارند و برینی این مدل‌های الگوهای متنوعی نیز ارائه شده‌اند. در این زمینه تبدیل فوریه یکی از مهم‌ترین و گستره‌ترین کاربردها را در مهندسی زلزله دارد، اگرچه در سال‌های اخیر پژوهش‌گران متوجه شده‌اند که این تبدیل -- بهویژه در مورد سیگنال‌های غیرایستا و سیستم‌های غیرخطی -- دارای محدودیت‌هایی است. از سوی دیگر، با توجه به آن که در طراحی‌های آینده برای سازه‌های ساختمانی -- به خصوص ساختمان‌هایی که در مواجهه با بارهای دینامیکی غیرایستا هستند -- بررسی محتوای فرکانسی و اندازه‌گیری آن در تغییرات زمان ضرورت می‌یابد، و تحلیل زمانی و تحلیل فرکانسی به‌نهایی نمی‌توانند طیف غیرایستای بارهای دینامیکی را به درستی بیان کنند، در سال‌های گذشته برای استفاده از روش تحلیل ویولت کوشش‌های بسیاری شده است.



شکل ۳. تجزیه شتابنگاشت زلزله‌ی بم با استفاده از تبدیل ویولت پاکت.

ویولت پاکت سیگنال  $x(t)$  از طریق ضرب داخلی سیگنال با هر تابع ویولت پاکت، مطابق عبارت ۷ به دست می‌آید:

$$c_j^i(k) = \int_{-\infty}^{\infty} x(t) \psi_{j,k}^i(t) dt \quad (7)$$

که در آن  $c_j^i(k)$  نشان‌دهنده‌ی  $i$ -امین سری از ضرایب تجزیه ویولت پاکت در  $j$ -امین پارامتر مقیاس و  $k$ -امین پارامتر جایه‌جایی است. محتوی ویولت پاکت سیگنال  $x_j^i(t)$  را می‌توان به‌وسیله‌ی یک ترکیب خطی از ضرایب تابع ویولت پاکت  $\psi_{j,k}$  به صورت زیر نمایش داد:

$$x_j^i(t) = \sum_{-\infty}^{\infty} c_j^i(k) \psi_{j,k}^i(t) \quad (8)$$

که پس از  $j$  بار تجزیه، سیگنال اصلی  $x(t)$  به صورت عبارت ۹ قابل نمایش است:

$$x(t) = \sum_{i=1}^{2^j} x_j^i(t) \quad (9)$$

برای مثال در شکل ۳، تجزیه شتابنگاشت زلزله‌ی بم با استفاده از تبدیل ویولت پاکت نشان داده شده است.

### ۲.۳. الگوریتم بهترین پایه

هر دو روش تحلیل فوریه و تحلیل ویولت دارای محدودیت‌هایی هستند. روش تحلیل فوریه نتایج خوبی برای سیگنال‌های متناوب روش‌مند دارد، و تحلیل ویولت برای سیگنال‌های غیرایستا که قله‌های ناگهانی و نایپوسته به همراه دارد مناسب است. بررسی‌های دیگری نیز انجام شده است و الگوریتم‌های بسیاری با تابع تحلیلی تهیه شده است.<sup>[۱۲]</sup> این روش‌ها شامل الگوریتم بهترین پایه و روش دنباله‌ی تطبیقی است. الگوریتم بررسی بهترین پایه از ویولت پاکت‌ها استفاده می‌کند.

برای مثال در آنالیز ویولت پاکت این امکان وجود دارد که سیگنال  $S$  مطابق عبارت زیر بازسازی شود.

$$S = A(1) + A(6) + D(6) + D(3) \quad (1)$$

این یکی از نمونه‌های تجزیه سیگنال با این روش می‌باشد که در روش ویولت معمول ممکن نیست.

انتخاب یکی از این اطلاعات کدگذاری شده مسئله‌ی جالب توجه در این روش است. در ویولت پاکت از فیلترهای بالاگذر و پایین‌گذر برای بازسازی کامل استفاده می‌شود. در حقیقت ویولت پاکت‌ها ترکیبات خطی ویژه یا انطباقی ازویولت‌ها هستند و این مدل‌ها همچون ویولت‌ها از خاصیت تعامد، هم‌جواری و تمرکز برخوردارند. ضرایب در ترکیبات خطی با عامل یا الگوریتم بازگشته محاسبه می‌شوند و در این روش پیچیدگی کم‌تری وجود دارد. تابع ویولت پاکت  $(t) \psi_{j,k}^i(t)$  چنین تعریف می‌شود:

$$\psi_{j,k}^i(t) = 2^{-j/2} \psi^i(2^{-j}t - k) \quad (2)$$

که در آن  $j$  و  $k$  به ترتیب مقیاس و جایه‌جایی هستند.  $i = 0, 1, 2, 3$  پارامترهای نوسان و  $\psi^i(t)$  بدون زیرنویس به معنای  $\psi_{j,k}^i(t)$  با  $j = k = 0$  است. اولین دو تابع ویولت پاکت برای  $i = 0, 1, j = k = 0$  نیز تابع مقیاس  $\varphi$  و تابع ویولت مادر  $(t) \psi$  به‌شکل رابطه‌ی ۳ خوانده می‌شوند:

$$\varphi^*(t) = \varphi(t), \quad \varphi^1(t) = \psi(t) \quad (3)$$

توابع دیگر ویولت پاکت برای مقیاس  $i = 2, 3, \dots$  به صورت روابط ۴ تعریف می‌شوند:

$$\begin{aligned} \varphi^{*i}(t) &= \sum_k h(k) \psi_{j,k}^i(t), \\ \varphi^{*i+1}(t) &= \sum_k (-1)^k h(-k+1) \psi_{j,k}^i(t) \end{aligned} \quad (4)$$

و بنابراین خواهیم داشت:

$$\begin{aligned} \varphi^{*i}(t) &= \sqrt{2} \sum_k h(k) \psi^i(2t - k), \\ \varphi^{*i+1}(t) &= \sqrt{2} \sum_k (-1)^k h(-k+1) \psi^i(2t - k) \end{aligned} \quad (5)$$

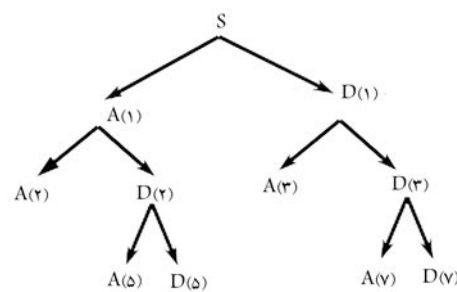
$$g(k) = \frac{1}{\sqrt{2}} \langle \psi(t), \psi(2t - k) \rangle = (-1)^k h(-k+1)$$

آنگاه عبارات فوق عبارت خواهند بود از:

$$\begin{aligned} \varphi^{*i}(t) &= \sqrt{2} \sum_k h(k) \psi^i(2t - k), \\ \varphi^{*i+1}(t) &= \sqrt{2} \sum_k g(k) \psi^i(2t - k) \end{aligned} \quad (6)$$

در این رابطه  $(k) h$  فیلتر پایین‌گذر (مقیاس) و  $(k) g$  فیلتر بالاگذر (ویولت) است. این دو فیلتر  $(k) h$  و  $(k) g$ ، فیلترهای متعدد مزدوج خوانده می‌شوند.<sup>[۱۲]</sup> ضرایب

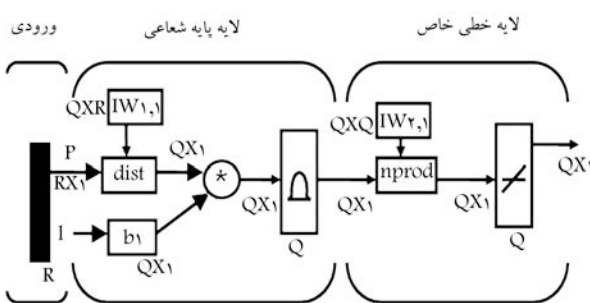
ناظر در آموزش‌اند. این شبکه‌ها معمولاً برای تقریب توابع به کار می‌روند، و حساسیت کمتری نسبت به مسائل با ورودی‌های غیربرایستا دارند که به دلیل رفتار تابع با پایه‌ی شعاعی یکان پنهان آن است. این شبکه‌ها نیازی به آموزش مکرر ندارند. الگوریتم GRNN براساس نظریه‌ی رگرسیون غیرخطی بنا شده است. به جز روند آموزشی لایه‌ی دوم، بقیه‌ی نکات آن همچون روش RBF است. نمونه‌ی از ساختار شبکه‌ی GRNN در شکل ۵ به نمایش درآمده است.



شکل ۴. نمونه‌ی از یک درخت ویولت پاکت با روش بهترین پایه.

## ۵. روش پیشنهادی برای تولید شبکه‌ای مصنوعی

با مروری بر پژوهش‌های انجام‌شده<sup>[۱۲]</sup> که ایده‌ی اصلی روش عنوان‌شده در این پژوهه نیز برگرفته از آن است، مشخص شده که روش مزبور را عمدتاً به عملت عدم یکنخنی و پراکنندگی در داده‌های مربوط به ایران، نمی‌توان برای این منطقه‌ی خاص به کار برد. اما از آنجا که چاره‌یی جز انتخاب این شبکه‌ای نگاشت ها نخواهیم داشت، باید به طریقی مستله را حل کرد. از طرفی با توجه به موارد ذکر شده در قسمت‌های قبلی، تولید یک سری رکورد مصنوعی برای تحلیل دینامیکی سازه‌ها ضروری است. نکته‌ی قابل ذکر آن که در ایجاد این رکوردها هیچ‌گاه تضمینی بر صحبت پیش‌بینی رکورد وجود ندارد، بلکه مهم آن است که این شبکه‌ای نگاشت ها اولاً به لحاظ شکلی ماهیتی شیوه به رکوردهای قبلی داشته باشند، ثانیاً در احتمال صحبت نسبی چند پارامتر اساسی مرتبط با آن اطمینان بالایی داشته باشیم. این پارامترها، در راوند همان داده‌های اولیه تولید رکوردهای مصنوعی محاسبه می‌شوند. مواردی چون شبکه بیشینه، مدت زمان تداوم و محتوای فرکانسی از مهم‌ترین این عوامل به شمار می‌آید. در این پژوهش روشی جدید برای ساخت شبکه‌ای مصنوعی زلزله‌ها ارائه شده است که ترکیبی مناسب از شبکه‌ی عصبی و ویولت پاکت‌ها با الگوریتم بهترین پایه است. در این روش به جای استفاده از تبدیل فوریه‌ی سریع از تبدیل ویولت پاکت استفاده شده است. این بدان معناست که در حقیقت هرگره در تجزیه‌ی سیگنال مورد بررسی کیفی قرار گرفته و میزان اطلاعات موجود در آن بررسی می‌شود. با توجه به این که هدف این پژوهش طراحی شبکه‌ی عصبی به منظور تولید رکوردهای مورد نظر برای داده‌های مربوط به ایران است، مهم‌ترین مستله‌ی موجود در این زمینه همان موردی است که عموم شبکه‌ها نسبت به آن حساس‌اند: کمبود رکوردهای مناسب آموزشی از طرفی رکوردهای مختلف از سال‌های گذشته در مراکز مختلف ایران ثبت و اصلاح شده‌اند. استفاده از این شبکه‌ای نگاشت ها به منظور آموزش امری مناسب نیست، چرا که رکوردهای انتخابی باستی ویژگی‌های یک زلزله‌ی نسبتاً قوی و قابل توجه را در خود داشته باشند. بدینهی است در چنین شرایطی، انتخاب رکوردهایی که در ردیف زلزله‌های خفیف به شمار می‌آیند، تحلیل مناسبی به دست نمی‌دهد، زیرا در آن صورت سازه واکنش درخور توجهی نسبت به آن نخواهد



شکل ۵. یک نمونه از ساختار شبکه‌ی GRNN.

در روش الگوریتم پایه، سیگنال به صورت یک ترکیب خطی از اتم‌های زمان-فرکانس نشان داده می‌شود. اتم‌ها به وسیله‌ی بسط توابع تحلیلی به دست می‌آیند و در مجموعه‌ی با عنوان «ویولت پاکت» مرتب می‌شوند. اتم‌های ویولت پاکت امواج دارای اندیس زمان، مقیاس و فرکانس هستند. برای هر تابع تحلیل متعدد این امکان وجود دارد که گروهی از مجموعه‌ی ویولت پاکت‌های پایه برای آن ساخته شود.

الگوریتم بهترین پایه<sup>[۱۲]</sup> با استفاده از معیار کمترین آتروپی، مختصرترین توضیح را برای سیگنال موجود در یک گروه ارائه می‌دهد. روش بهترین پایه در مجموعه‌ی ویولت پاکت‌ها مترا다 («فیلترکننده‌ی بهینه») برای سیگنال است. عملکرد بررسی بهترین پایه در ساختار ویولت پاکت مترادا (تصفیه‌ی بهینه) یک سیگنال است. برای هر سیگنال، الگوریتم بهترین پایه تصمیم می‌گیرد که کدام پایه سیگنال آن را به طور مؤثر نمایش می‌دهد. چنین الگوریتمی این امکان را فراهم می‌کند که در الگوریتم ویولت پاکت از مشخصه‌ی «بهترین درخت»، که تجزیه را هم کلی و هم نسبت به هر گره بهینه می‌کند، استفاده شود. نمونه‌ی از یک درخت ویولت پاکت با روشن بهترین پایه در شکل ۴ نشان داده شده است.

## ۴. شبکه‌های عصبی مصنوعی

شبکه‌های عصبی مصنوعی که برگرفته از ساختار مغز انسان هستند، در سال‌های اخیر چه در بعد توسعه‌ی ساختاری و چه در بعد پیاده‌سازی ساخت افزاری، از نظر کیفی و کمی و توانایی در حال رشد و پیشرفت‌اند. در هر مستله‌یی، چنانچه نیاز به یادگیری یک نگاشت خطی یا غیرخطی مابین دو فضای خاص باشد، شبکه‌های عصبی مصنوعی (یا به اختصار شبکه‌های عصبی) می‌توانند به خوبی این تبدیل را به انجام رسانند. امروزه در بین انواع مختلف شبکه‌ها، شبکه‌های عصبی پیشرو (MLFF) یکی از پرکارترین آن‌ها محسوب می‌شود. نوع دیگری از شبکه‌ها، که نگاشتی از فضای ورودی به خروجی ایجاد می‌کنند، تحت عنوان شبکه‌های با تابع پایه‌ی شعاعی (RBF) نام‌گذاری شده‌اند. در این پژوهش از نوع خاصی از این شبکه تحت عنوان شبکه‌های عصبی با قابلیت بازگشت فراگیر یا فرابازگشتی (GRNN) استفاده شده است. شبکه‌های یادشده همگی از آموزش تحت سرپرستی به منظور تعلم استفاده می‌کنند؛ چرا که در همگی آن‌ها خروجی‌ها مقادیر معینی هستند.<sup>[۱۳]</sup>

### ۴.۱. شبکه‌های عصبی رگرسیون تعییم یافته (GRNN)

شبکه‌های GRNN که به وسیله‌ی اسپچ (Specht) بسط داده شد، روش توابع پایه را استنتاج می‌کند. شبکه‌های GRNN از سری شبکه‌های پیشرو با استفاده از

۲۰۴۸ نقطه است که مبتنی بر تعداد نقاط ضرایب ویولت (نقطه تقسیک فرکانسی) است. نکته‌ی مهم در آموزش یک شبکه آن است که شبکه قادر باشد به ازای یک بردار ورودی که با آن آموزش ندیده، خروجی مرتب با آن را ارائه کند. لذا چنان‌که ذکر شد در پروژه‌ی مورد نظر ما شبکه‌ی GRNN که نوع خاصی از شبکه‌ی RBF است به کار گرفته شده و نتیجه‌ی آن نیز رضایت‌بخش است. مهم‌ترین دلیل برای پاسخ مناسب چنین شبکه‌یی آن است که شبکه‌های RBF با چند فرض اولیه، رفتار تابعی معادل یک استنتاج‌گر فازی خواهند داشت. این مفروضات در عموم شبکه‌های RBF به کار گرفته می‌شود. قابلیت فوق به کارگیری روش‌های طراحی استنتاج‌گر فازی را برای طراحی اولیه‌ی شبکه‌ی RBF و نیز روش‌های آموزش RBF را برای تکمیل استنتاج‌گر فازی ممکن می‌سازد. بنابراین در این پروژه از نوعی استنتاج‌گر فازی برای رسیدن به جواب استفاده شده است.

با توجه به آن که هدف این پژوهش ساخت مدلی برای ایجاد شتاب‌نگاشت مصنوعی منطقی با طیف پاسخ خاصی بود، پس از به دست آوردن نتایج ذکر شده شبکه‌ی عصبی مصنوعی‌یی ساخته شد که ورودی آن طیف پاسخ و خروجی ضرایب ویولت پاکت با الگوریتم بهترین پایه‌ی شتاب‌نگاشت متناظر با آن بود. مدل ارائه شده به دو صورت در شکل‌های ۶ و ۷ به نمایش درآمده است. یادآور می‌شود که نکته‌ی مهم در آموزش شبکه آن است که شبکه قادر باشد به ازای یک بردار ورودی که با آن آموزش ندیده، خروجی مرتب با آن را ارائه کند. روش فوق پس از معروفی، با رکوردهای مختلفی کنترل شده است، به‌گونه‌یی که می‌توان صحت آن را در نتایج ارائه شده مشاهده کرد.

## ۶. کاربرد عددی

برای کاربرد روش مورد نظر در مجموع ۴۰ رکورد زلزله با ویژگی‌های متمایز از مناطق مختلف ایران (جدول ۱ و ۲)، که با کمک مرکز تحقیقات مسکن و ساختمان تهیه شده، انتخاب شد.<sup>[۱۸]</sup> از این گروه تعداد ۳۴ رکورد به عنوان سری آموزشی (جدول ۱) و ۶ رکورد به منظور کنترل (جدول ۲) به کار گرفته شد. این رکوردها همگی در فواصل زمانی ۰/۰۵ تا ۰/۰۵ ثانیه گسترش شده‌اند. رکوردهای انتخابی به لحاظ بزرگ، طول مدت تداوم، بیشینه شتاب، نوع خاک محل خصوصیات متفاوتی دارند. اگر بتوانیم یک سری از پارامترهای مذکور را در کلیه‌ی رکوردها یکسان کنیم، سهولت بیشتری در آموزش شبکه ایجاد کرده‌ایم. یکی از موارد یادشده طول مدت تداوم زلزله است که با توجه به روش پیشنهادی مشخص است که باید به نحوی تعداد نقاط رکوردهای مختلف را یکسان کرد.

چنان‌که می‌دانیم هر رکورد تنها در محدودی مشخصی از طول خود مؤثر است، بنابراین می‌توان برای هر رکورد فاصله‌ی زمانی خاصی را، که بیشترین اثر را بر سازه اعمال می‌کند، مشخص کرد. بهترین شیوه برای این منظور محاسبه‌ی مدت تداوم قوی زلزله برای آن‌هاست. این محاسبه را می‌توان به روش‌های مختلف انجام داد. با توجه به تحقیقات صورت‌گرفته پیداست که برای تعیین مدت مزبور تعریف ارائه شده برهمبنا ارزی سری حرکت<sup>[۱۹]</sup> متناسب‌تر از دو روش دیگر است.

برای یکسان‌کردن طول شتاب‌نگاشت‌ها تعدادی نقاط صفر به شتاب‌نگاشت‌ها اضافه شد تا طول همه یکسان شود. با توجه به فاصله‌ی زمانی ۰/۰۵ ثانیه، و تعداد نقاط در نظر گرفته شده برای شتاب‌نگاشت‌ها، مدت شتاب‌نگاشت‌ها معادل ۴۰،۹۶ ثانیه ( $40,96 = 40 \times 0,02$ ) در نظر گرفته شد. با این روش، طول رکوردهای مزبور یکسان شده است. مشاهده می‌شود که کلیه‌ی شتاب‌نگاشت‌های

داشت. در اینجا فقط می‌توان گفت، سازه‌ی مورد نظر در مواجهه با یک زلزله خفیف، مقاوم به شمار می‌آید. بنابراین برای چنین تحلیل‌های عموماً از رکوردهای به اصطلاح قوی‌تری استفاده خواهد شد. حال اگر بخواهیم شبکه‌ی مورد نظر ما نیز قابلیت فوق را در ارائه‌ی پاسخ مناسب داشته باشد، می‌بایست در آموزش آن از داده‌های مربوط به زلزله‌های خفیف اجتناب کرد، چراکه شبکه در نهایت تأثیرپذیری خود را از تمام الگوهای آموزشی خواهد داشت. برای بررسی اثر نوع ویولت مادر انتخابی در الگوریتم مورد نظر نیاز از ویولت‌های مختلفی چون ویولت‌های کویفلت<sup>۱</sup> و ویولت‌های سیملت<sup>۲</sup> و ویولت‌های دوبیشر<sup>۳</sup> استفاده شد. از طرفی از آنجا که آنرویی نیز باید به‌گونه‌یی انتخاب شود که نه آنقدر بزرگ باشد که به سیگنال اجراهی تجزیه‌ی مناسب ندهد و نه آنقدر کوچک که اثر روش بهترین پایه و ارزش اطلاعات را منتفی سازد. با انتخاب آنتروپی‌های متفاوت<sup>[۱۶]</sup> و مقایسه‌ی آن‌ها با هم، یک معیار پایه‌ی آنتروپی برای انتخاب بهترین تجزیه‌ی می‌شود. سیگنال و همچنین یک الگوریتم پالایش براساس مطالعات محققین<sup>[۱۶]</sup> استفاده شده است. چنین الگوریتمی استفاده از مشخصه‌ی «بهترین درخت»، که تجزیه را هم به طور عام و هم نسبت به هر گره بهینه می‌کند و براساس بیشترین انرژی باقی‌مانده در سیگنال انتخاب می‌شود، در الگوریتم ویولت پاکت ممکن می‌سازد. برای این هدف گام‌های زیر مورد استفاده قرار می‌گیرد:

۱. تجزیه‌ی سیگنال: براساس یک ویولت انتخابی، سیگنال  $N$  به‌کمک ویولت پاکت به  $N$  سطح تجزیه می‌شود;
۲. از الگوریتم بهترین درخت برای انتخاب یک آنتروپی مناسب استفاده می‌شود;
۳. با انتخاب یک آستانه ضرایب ویولت پاکت مناسب انتخاب می‌شود. این آستانه با کنترل انرژی باقی‌مانده به معنای حذف مقادیر کم‌تر از آستانه در روند محاسبه و معادل صفرگرفتن آن‌هاست;
۴. بازسازی سیگنال و درصورت لزوم تصحیح آن.

برای مقایسه‌ی عملکرد روش ویولت پاکت با استفاده از الگوریتم بهترین پایه نیز یک سری از شتاب‌نگاشت‌های واقعی به‌کمک این روش تجزیه و مجددًا بازسازی شد.<sup>[۱۷]</sup>

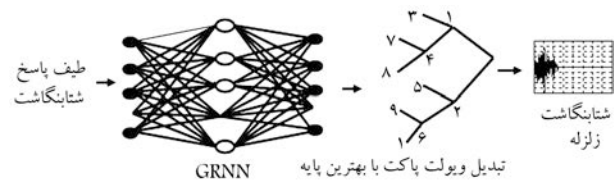
پس از بررسی‌های ذکر شده، از آنجا که ویولت انتخابی باید براساس دقت مورد نظر در به کارگیری در محدوده‌ی فرکانس یا زمان بهینه در نظر گرفته می‌شد، و نیز با توجه به نتایج حاصل از کاربرد ویولت‌های گوناگون، ویولت  $db_{10}$  به عنوان ویولت مادر انتخاب شد. ضرایب ویولت پاکت و معکوس آن به‌کمک الگوریتم بهترین پایه با انتخاب آنتروپی مناسب محاسبه و استفاده شد. شبکه به‌وسیله‌ی رودی طیف پاسخ و خروجی ضرایب ویولت پاکت بهترین پایه آموزش داده شد. با توجه به نتایج حاصله در این قسمت مشخص شد که در مقام مقایسه با دیگر روش‌های تحلیلی همچون تحلیل ویولت با ویولت‌های هارمونیک و تحلیل فوریه‌ی کلاسیک الگوریتم بهترین پایه رفتار بهتری دارد. پس از انتخاب نوع ویولت و آنتروپی مناسب اقدام به ساخت شبکه‌یی شد که ورودی آن طیف پاسخ سرعت و خروجی شتاب‌نگاشت متناظر با آن باشد؛ چراکه معمولاً برای آموزش یک شبکه از سری‌هایی آموزشی استفاده می‌شود که هر سری شامل یک بردار ورودی و یک بردار خروجی متناظر است. تعداد نرون‌های لایه‌ی ورودی و خروجی به ترتیب برابر با بعد بردارهای ورودی و خروجی است. از آنجا که رابطه‌ی خاصی برای محاسبه‌ی تعداد لایه‌های پنهان و نرون‌های مربوطه موجود نیست، امتحان ساختارهای متفاوت تنها چاره است. بنابراین با توجه به آن که طیف پاسخ سرعت در  $10^0$  نقطه برای هر شتاب‌نگاشت محاسبه و استفاده شده است، تعداد نرون‌های ورودی  $10^0$  نقطه است. تعداد نرون‌های خروجی نیز

جدول ۱. داده‌های شتاب‌نگاشت‌های پایه‌ی انتخابی (سری آموزشی).<sup>[۱۸]</sup>

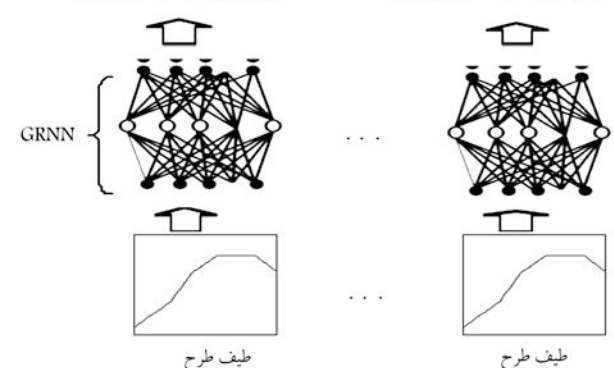
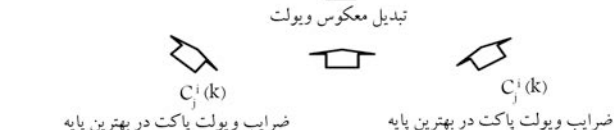
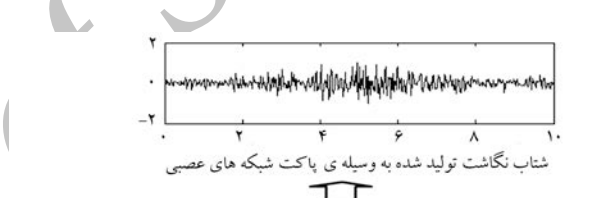
ردیف	تاریخ رویداد	نام جغرافیایی ایستگاه	بزرگی زمین لرزه $m_s$	حداکثر شتاب تصحیح شده ( $\text{cm/s}^2$ )	نوع زمین ساختگاه	زمان تداوم (ثانیه)
۱	۱۹۷۶/۱۱/۰۷	قائمه	۶,۴	۱۱۵		۱۹/۵۴
۲	۱۹۷۷/۰۳/۲۱	بندر عباس-۲	۶,۹	۹۰	IV-B	۴۵/۲۲
۳	۱۹۷۷/۰۴/۰۶	ناغان-۱	۶,۱	۷۰۰	I-A	۲۰/۹۶
۴	۱۹۷۸/۰۹/۱۶	دیهوک	۶,۷	۲۷۲	I-A	۵۸/۳۸
۵	۱۹۷۸/۰۹/۱۶	طبس	۷,۳	۸۳۲	II-A	۴۹
۶	۱۹۷۸/۰۹/۱۶	پنجستان	۷,۳	۷۸	III-B	۳۹/۵۸
۷	۱۹۷۸/۱۱/۰۴	هشتپر	۶,۲	۱۷۱		۱۸/۹۶
۸	۱۹۷۹/۰۱/۱۶	خاف	۶,۸	۶۹	III-B	۲۲/۴۲
۹	۱۹۷۸/۰۹/۱۶	فردوس	۷,۳	۷۶	IV-B	۵۳/۰۲
۱۰	۱۹۷۹/۱۱/۲۷	کاشمر	۷,۱	۷۰	III-C	۶۷/۹۲
۱۱	۱۹۷۹/۱۱/۲۷	پنجستان	۷,۱	۱۰۴	III-B	۲۳/۲۰
۱۲	۱۹۷۹/۱۱/۲۷	قائمه	۷,۱	۱۸۶		۲۰/۱۶
۱۳	۱۹۷۹/۱۱/۲۷	تاییاد	۷,۱	۷۵	III-B	۶۰
۱۴	۱۹۷۹/۱۱/۲۷	کناباد	۷,۱	۶۹	IV-B	۵۰/۵۲
۱۵	۱۹۷۹/۱۱/۲۷	خاف	۷,۱	۱۲۷	III-B	۵۸/۰۴
۱۶	۱۹۸۱/۰۷/۲۸	گلبلaf	۷	۲۱۷	III-A	۵۹/۳۲
۱۷	۱۹۸۴/۰۶/۰۱	شلمزار	۵	۲۹۹	III-C	۱۸/۶۶
۱۸	۱۹۸۵/۰۲/۰۲	قیر	۵/۳	۲۹۰	I-A	۱۵/۳۴
۱۹	۱۹۸۸/۱۲/۰۶	نورآباد مهمنی	۵/۶	۸۵	III-C	۱۷/۲۸
۲۰	۱۹۹۰/۰۶/۲۰	ابهر	۷/۷	۱۲۷		۲۹/۴۸
۲۱	۱۹۹۰/۰۶/۲۰	رودسر	۷/۷	۹۱	IV-A	۵۳/۱۰
۲۲	۱۹۹۰/۰۶/۲۰	لاهیجان	۷/۷	۱۱۱	IV-A	۶۰/۵۴
۲۳	۱۹۹۰/۰۶/۲۰	تکابن	۷/۷	۱۳۰	IV-A	۳۵/۹۴
۲۴	۱۹۹۰/۰۶/۲۰	گچسر	۷/۷	۶۳		۴۹/۴۸
۲۵	۱۹۹۰/۰۶/۲۰	زنجان	۷/۷	۱۲۵	III-B	۵۹/۷۸
۲۶	۱۹۹۰/۰۶/۲۰	رباط کریم	۷/۷	۶۴	III-B	۱۲/۵۸
۲۷	۱۹۹۰/۰۶/۲۰	اشتهارد	۷/۷	۷۱		۴۵/۷۸
۲۸	۱۹۹۱/۱۱/۲۸	رودبار-۱	۵/۷	۲۶۸	I-A	۱۹/۹۴
۲۹	۱۹۹۴/۰۶/۲۰	میمند	۶/۱	۳۹۴		۲۷/۱۴
۳۰	۱۹۹۴/۰۶/۲۰	زرات	۵/۵	۱۹۶	I-A	۲۳/۲۴
۳۱	۱۹۹۴/۰۶/۲۰	زرات	۵/۹	۲۸۹	I-A	۴۳/۵۰
۳۲	۱۹۹۴/۰۶/۲۰	فیروزآباد-۱	۵/۹	۲۳۵	II-A	۳۸/۳۶
۳۳	۱۹۹۴/۰۶/۲۰	زنگیزان	۵/۹	۸۴۱	II-A	۶۳/۹۸
۳۴	۱۹۹۴/۰۱/۲۴	فین	۴/۹	۴۳۳		۲۱/۹۶

جدول ۲. داده‌های شتاب‌نگاشت‌های پایه انتخابی (سری آزمایشی) [۱۸].

ردیف	تاریخ رویداد	نام جغرافیایی ایستگاه	برگی زمین لرزه $m_s$	حداکثر شتاب تصحیح شده ( $cm/s^2$ )	نوع زمین ساختگاه	زمان تداوم (ثانیه)
۱	۱۹۷۶/۱۱/۲۴	ماکو	۷/۳	۸۶	I	۲۸/۰۶
۲	۱۹۷۷/۰۳/۲۱	بندرعباس-۱	۶/۹	۹۸	IV	۴۱/۰۲
۳	۱۹۷۹/۱۱/۱۴	خاف	۶/۸	۷۴	III	۳۹/۲۰
۴	۱۹۸۰/۰۱/۱۲	طبس	۵/۸	۱۵۰	II	۲۹/۷۴
۵	۱۹۷۹/۱۱/۲۷	حضری	۷/۱	۹۴	IV	۳۵/۹۸
۶	۱۹۸۱/۰۷/۲۸	کرمان	۷	۹۸	IV	۳۸/۰۴



شکل ۶. شبکه‌ی طراحی شده برای ساخت شتاب‌نگاشت مصنوعی با ورودی شبه سرعت.



شکل ۷. مدل ارائه‌شده برای تولید شتاب‌نگاشت مصنوعی زلزله.

مدت تداوم و بیشینه شتاب زمین یکسان شده‌اند. بدیهی است در مورد سایر پارامترها نمی‌توان این روش را اعمال کرد و بنابراین، رکوردهای حاصله مناسب‌ترین رکوردها برای استفاده در شبکه است. در گزینش داده‌ها، هیچ شیوه‌ی خاصی برای انتخاب انجام نشده، بلکه این امر به صورت کاملاً تصادفی بوده است. در نهایت، حضور دست‌کم یک الگو در بین سری داده‌های آزمایش شونده از هر نوع خاک بررسی و کنترل شده است. علاوه‌بر این، با توجه به شکل رکورد سری‌های مزبور مشاهده می‌شود که هریک از آن‌ها تابع پوش خاصی دارند تا بتوان حساسیت الگوریتم را نسبت به کلیه‌ی حالت‌ها سنجید.

اینک با هدف معرفی شبکه‌یی که قابلیت این انتقال را داشته باشد، ورودی‌ها و خروجی‌ها به همراه سری‌های آموزشی مشخص خواهد شد. شبکه‌یی درست آموزش دیده که علاوه‌بر پاسخ صحیح در برابر داده‌های آموزشی، بهاری یک بردار ورودی که با آن آموزش ندیده نیز بتواند پاسخی قابل قبول ارائه کند. این روش از امتیازهای عدیده‌یی برخوردار است که عدمه‌ترین آن‌ها عبارت‌اند از: سرعت آموزش بالا به سبب نوع خاص شبکه و حذف مرحله‌ی فشرده‌سازی، قابلیت انعطاف‌پذیری حتی در تعداد کم داده‌های آموزشی، قابلیت اصلاح خروجی شبکه تا رسیدن به طیف مورد نظر، استفاده از ویولت‌ها به عنوان شناسایی دقیق تر ویژگی‌های فرکانسی شتاب‌نگاشت‌های آموزشی.

علت اصلی عدم پاسخ‌گویی مناسب شبکه‌های پیشرو آن است که در این شبکه‌ها چون تمام الگوها به یک شیوه آموزش دیده می‌شود، ارائه خروجی نیز از کلیه‌ی الگوهای آموزشی تأثیر می‌ذیرد. اگر بتوان این تأثیرپذیری را به نحوی کاهش داد و آن را محدود به یک سری از الگوهای خاص کرد، مسلماً جواب بهتری خواهیم گرفت. یک روش مفید آن است که شبکه، تنها الگوی دارای ورودی شیوه به طیف هدف و مورد نظر را در ارائهٔ خروجی سهیم کند. این شیوه همان چیزی است که در روش تولید رکوردهای مصنوعی دنبال شد: انتخاب رکوردي با طیف شیوه به طیف هدف و انجام اصلاحات بر روی آن. شبکه‌هایی با قابلیت‌های بالا عموماً حساسیت بیشتری نسبت به خروجی‌ها دارند و به راحتی می‌توان خروجی وابسته به ورودی را متناظر یک یا چند خروجی آموزش دانست.

چنان‌که پیش‌تر اشاره شد، شبکه‌های با تابع پایه‌ی شعاعی چنین کاری را انجام می‌دهند و با انتخاب هر نورون برای هر سری آموزش در لایه‌ی مخفی، پاسخ را بر مبنای فاصله ورودی تا ورودی‌های آموزشی محاسبه می‌کنند. از قابلیت‌های بالای این نوع شبکه‌ها می‌توان به قدرت شناسایی الگوهای متفاوت در مدت زمان بسیار کم، و کارکرد بهتر آن‌ها در دسته‌بندی الگوها در مقایسه با شبکه‌های عصبی پیشرو

مزبور بیشینه شتاب‌های متفاوتی دارند. با توجه به رابطه‌ی خطی بین شتاب‌نگاشت و طیف پاسخ، و نیز از آنجا که طیف‌های هدف ارائه‌شده برای استفاده از شبکه عموماً به صورت طیف نرم‌الیزه برای بیشینه شتاب خاص‌اند، باید این بیشینه شتاب در شبکه به نحوی بارزتری اعمال شود. برای این منظور کلیه‌ی رکوردهای مزبور با بیشینه شتاب خاصی در اینجا مقیاس شده‌اند. بدین ترتیب تمامی رکوردها به لحاظ طول

افزایش داد. از آنجا که در نهایت برای تولید رکورد مصنوعی از طیف طرح استفاده می‌شود، شبکه‌ی مورد نظر برای یک طیف طرح نیز آزمایش شده است. از مزایای قابل توجه این روش آن است که با وجود محدودیت الگو، قادر است پاسخ مناسبی ارائه کند. این روش برای تمامی الگوهای مورد آزمایش کنترل شده و نتایج مربوط در قالب اشکال مختلف آمده است.

در پژوهش حاضر برای بررسی توانایی‌های الگوریتم پیشنهادی از چندین برنامه که در محیط « Matlab » (MATLAB) توشه شده<sup>[19]</sup> استفاده شده است. همچنین برای محاسبه‌ی طیف پاسخ شبیه سرعت<sup>[20]</sup> به عنوان ورودی شبکه با استفاده از معادلات ۱۰ و ۱۱ و با در نظر گرفتن  $5^{\circ}$  استفاده شده است.

$$T_{1j} \leq T \leq T_{2j}, \quad PSV_j(\omega, \xi) = \frac{2\pi}{T} \max_t |x(t)| \quad (10)$$

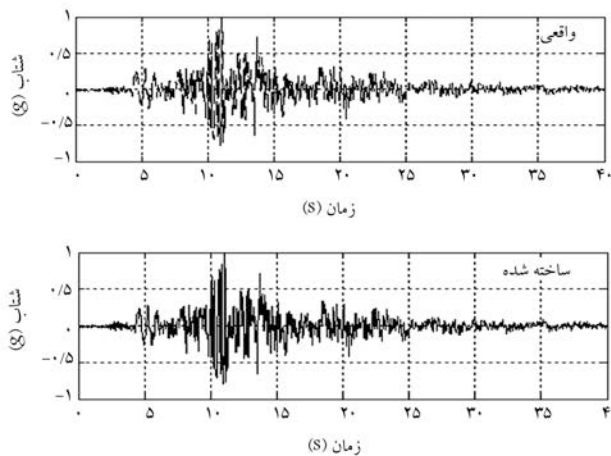
$$\ddot{x}(t) + \xi \omega_t \dot{x}(t) + \omega_t^2(t) = -\ddot{x}_g(t) \quad (11)$$

طیف پاسخ در  $100^{\circ}$  نقطه‌ی فرکانسی نیز محاسبه شده است. برای ساخت شبکه‌ی عصبی براساس ضرایب ویولت پاکت با الگوریتم بهترین پایه، از آنجا که تا مرحله‌ی سوم تجزیه انجام شده بود، باید هشت شبکه معرفی می‌شد که ضرایب ویولت پاکت را ارائه می‌داد و از ترکیب آنها شتاب‌نگاشت ساخته می‌شد. با توجه به نتایج حاصله در نمونه‌های آزمایشی انطباق

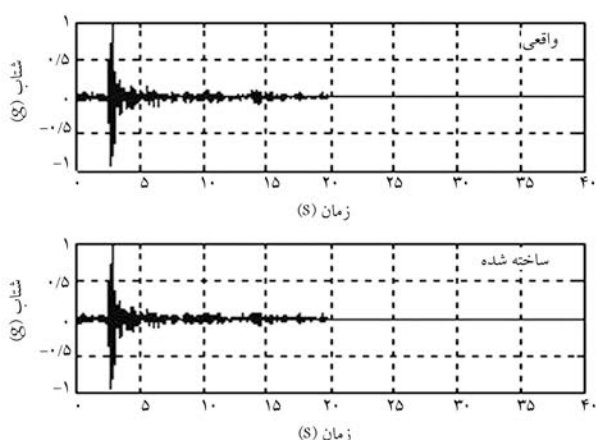
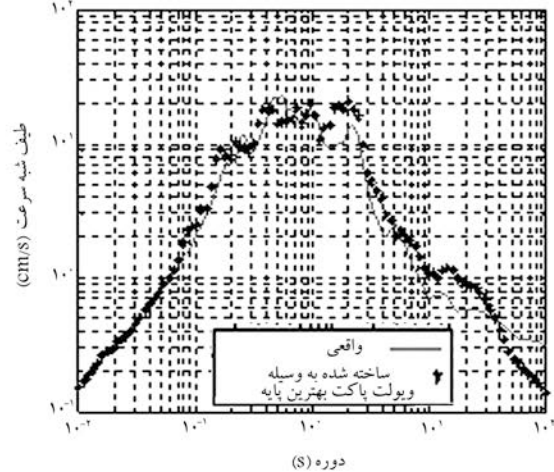
(MLFF) اشاره کرد. شبکه‌ی یادشده، از آنجا که معادل استنتاج‌گر فازی عمل می‌کند، مسلماً در جواب‌گویی به مسئله‌ی مورد نظر کارایی بیشتری خواهد داشت. شبکه باشد پاسخی مشابه با پاسخ‌های آموزشی ارائه کند به‌گونه‌ی که طیف آن به طیف هدف نزدیک باشد. این شبکه به سرعت نزدیک ترین الگو به الگوی ورودی را انتخاب می‌کند و در مواردی که الگوی آزمایش شونده شبیه به هیچ یک از سری‌های آموزشی نباشد، با ترکیبی مناسب خروجی قابل قبول را ارائه می‌کند. انتخاب این شبکه و نتایج حاصل از آزمون آن مؤید صحت مطالب یادشده است و به راحتی قابلیت شناسایی هر الگوی وابسته به هر ترازو و ارتباط آن با طیف پاسخ را خواهد داشت.

استفاده از رکوردهای مناسب برای ارائه‌ی خروجی از قابلیت‌های ویژه‌ی GRNN

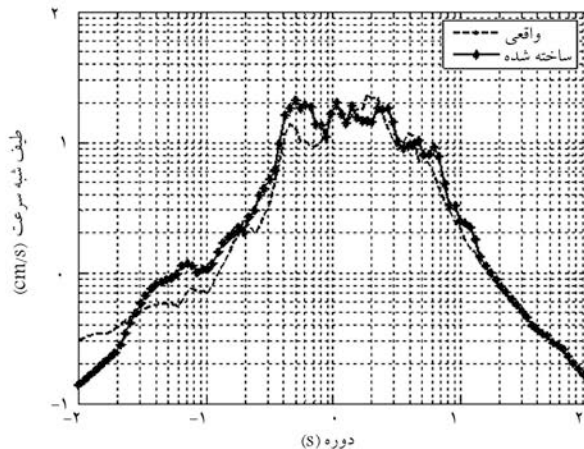
است. در اینجا که فاصله‌ی بین ورودی با یکی از الگوهای آموزشی بسیار کم تشخیص داده شده است صرفاً از این الگو برای ارائه‌ی پاسخ استفاده شده، اگرچه به منظور انطباق بین طیف‌های پاسخ و هدف تعییراتی جزی در آن صورت گرفته است. بالخطه‌ی طیف‌های پاسخ مشاهده می‌شود که این طیف‌ها انطباق نسبتاً خوبی با طیف‌های هدف مربوطه دارند. این هدفی است که از ابتدا دنبال می‌شد، چرا که با توجه به تصادفی بودن زلزله و وجود شتاب‌نگاشت‌های مختلف با طیف‌های پاسخ یکسان، دسترسی به رکوردي که از لحاظ شکل با شتاب‌نگاشت آن انطباق داشته باشد پیش‌بینی نمی‌شد. این شباهت را می‌توان با اضافه کردن بر سری‌های آموزشی

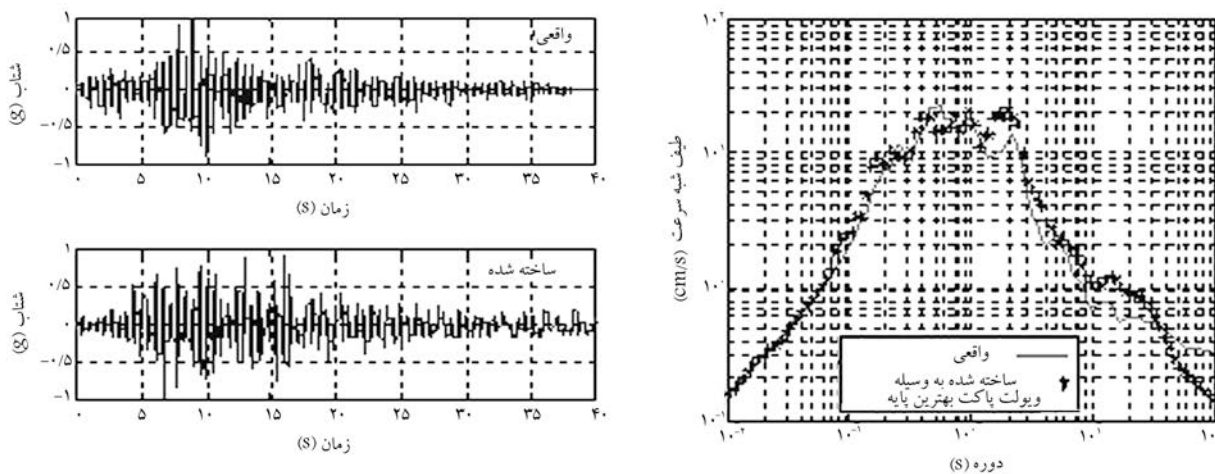


شکل ۸. مقایسه‌ی شتاب‌نگاشت واقعی و مصنوعی زلزله بندر عباس ۱ و طیف پاسخ شبیه سرعت آن (از سری آزمایشی).

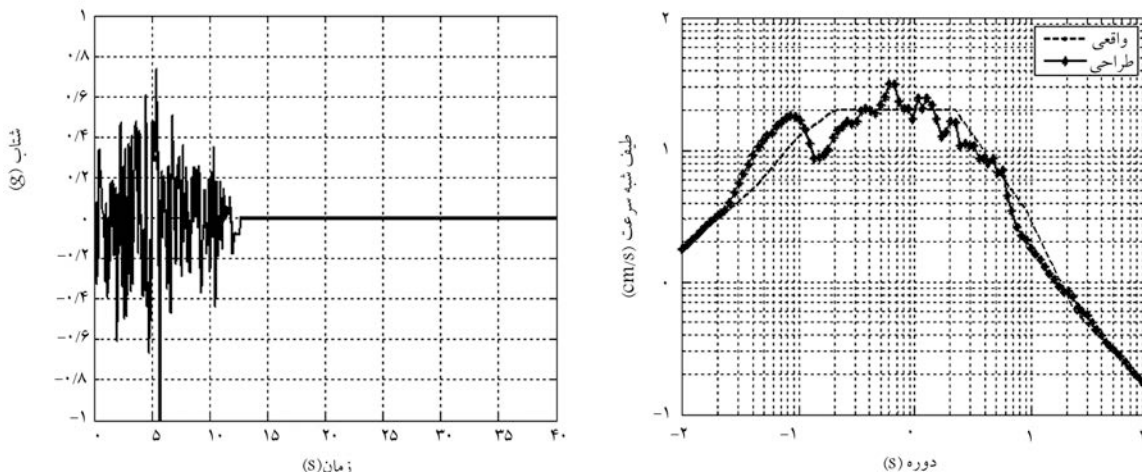


شکل ۹. مقایسه‌ی شتاب‌نگاشت واقعی و مصنوعی زلزله خاف و طیف پاسخ شبیه سرعت آن (از سری آزمایشی).





شکل ۱۰. مقایسه‌ی شتاب‌نگاشت واقعی و مصنوعی زلزله‌ی کرمان و طیف پاسخ شبیه سرعت آن (از سری آزمایشی).



شکل ۱۱. شتاب‌نگاشت تولیدشده منطبق بر طیف طرح و مقایسه‌ی طیف پاسخ شبیه سرعت آن با طیف طرح.

استفاده می‌شود. نتایج حاصله با استفاده از شبکه‌ی آموزش داده شده در شکل ۱۱ آمده است. چنان‌که ملاحظه می‌شود طیف حاصله انتظامی خوبی در پیشتر دوره‌ها دارد و شتاب‌نگاشت تولیدی را نیز می‌توان برگرفته از یک یا چند شتاب‌نگاشت آموزشی دانست.

نتایج واقعی و نتایج حاصل از شبکه قابل توجه بوده و حاکی از آموزش مناسب شبکه است. چنان‌که ملاحظه می‌شود، جواب حاصل — چه به لحاظ شتاب‌نگاشت و چه به لحاظ طیف پاسخ شبیه سرعت — منطبق بر شتاب‌نگاشت و طیف پاسخ اصلی است. اما شبکه‌ی کارا محسوب می‌شود که بتواند برای سری‌های آزمایش‌شونده جواب مناسبی ارائه کند، چه بیشتر شبکه‌ها از قابلیت حفظ‌کردن بالایی برخوردارند.

در شکل‌های ۸ تا ۱۰ نتایج حاصل به ترتیب برای شتاب‌نگاشت‌های زلزله‌ی بندرعباس-۱ و خاف و کرمان که در آموزش شبکه حضور نداشتند و از گروه آموزشی‌اند (جدول ۲) به همراه نتایج حاصل از روش پیشنهادی نشان داده شده است. با ملاحظه طیف‌های پاسخ سری آموزشی مشاهده می‌شود که انتظامی خوبی با طیف‌های هدف مربوطه دارد. این هدفی است که از ابتدا دنبال می‌شد، چراکه با توجه به تصادفی بودن زلزله وجود شتاب‌نگاشت‌های مختلف با طیف‌های پاسخ یکسان، دسترسی به رکوردهای کمتر شتاب‌نگاشت آن انتظامی داشته باشد پیش‌بینی نمی‌شد.

در مرحله‌ی آخر از طیف طرح مورد نظر به‌منظور تولید شتاب‌نگاشت مصنوعی

**۷. نتیجه‌گیری**  
در این نوشتار با استفاده از شبکه‌های GRNN و تبدیل ویولت پاکت همراه با الگوریتم بهترین پایه روشی جدید برای تولید رکوردهای مصنوعی سازگار با طیف هدف ارائه شد. در روش بیان شده با استفاده از تبدیل ویولت پاکت رکوردهای مورد نظر تجزیه شده و سپس با استفاده از شبکه‌های عصبی رگرسیون تعیین یافته رابطه‌ی بین طیف پاسخ و ضرایب ویولت پاکت برای هر تراز تقریب زده شد. در نهایت با استفاده از تبدیل معکوس ویولت پاکت به شتاب‌نگاشت مورد نظر دست می‌یابیم. روش ارائه شده برای تامی المکارهای آموزشی و آزمایش‌شونده کنترل شد و نتایج آن نسبتاً مطلوب برآورد شد.

۱. انعطاف پذیری زیاد؛ یعنی با تعداد محدودی الگو، قابلیت ارائه پاسخ مناسب به ازای ورودی مورد نظر را دارد.
۲. سرعت آموزش بالا به طوری که تمامی شبکه ها مجموعاً در کمتر از چند دقیقه تربیت شده اند.
۳. استفاده از ویولت پاکت ها به لحاظ شناسایی کامل واستخراج ویژگی های فرکانسی هر رکورد.
۴. تصادفی نبودن ماهیت خروجی ها، به گونه ای که هر رکورد را می توان برگرفته از دو یا چند الگوی ورودی دانست.
۵. سرعت بالای این روش امکان انجام هر نوع تغییری را در داده های آن میسر می کند.

## پانوشت

1. Coiflet wavelets
2. Symlets wavelets
3. Daubishez wave

## منابع

1. Ghaboussi, J. and Lin, C.J. "New method of generating spectrum compatible accelerograms using neural networks", *Earthquake Engineering & Structural Dynamics*, **27**, pp. 377-396 (1998).
2. Lin, C.J. and Ghaboussi, J. "Recent progress on neural network based methodology for generating artificial earthquake accelerograms", *Proceedings of the 12th World Conference on Earthquake Engineering*, Auckland, New Zealand, (29 Jan -5 Feb 2000).
3. Lee, S. and Han, S. "Neural-network-based models for generating artificial earthquakes and response spectra", *Computers and Structures*, **80**, pp. 1627-1638 (2002).
۴. رحمانی، حسین «تولید شبتابنگاشت های مصنوعی با استفاده از شبکه های عصبی و ویولت ها»، پایان نامه کارشناسی ارشد، دانشکده فنی، دانشگاه تهران، (۱۳۷۹)
- Ghodrati Amiri, G. and Bagheri, A. "Application of wavelet multi-resolution analysis and artificial intelligence for generation of artificial earthquake accelerograms", *Structural Engineering and Mechanics*, **28**(2), pp. 153-166 (2008).
- Ghodrati Amiri, G.; Bagheri, A. and Razaghi, A. "Generation of multiple earthquake accelerograms compatible with spectrum via the wavelet packet transform and stochastic neural networks", *Journal of Earthquake Engineering***13**, Issue 7, pp. 899-915 (2009).
- Housner, G.W. and Jennings, P.C. "Generation of artificial earthquakes", *Journal of Engineering Mechanics, ASCE*, **90**, pp. 113-150 (1964).
- Mac Can, W.M. and Shah, H.C. "Determining strong-motion duration of earthquake", *Bulletin of the Seismological Society of America*, **69**, pp. 1253-1265 (1979).
- Newland, D.E., *Random Vibrations, Spectral and Wavelet Analysis*, 3rd Edition, Longman Singapore Publishers (1994).
- Ghodrati Amiri, G.; Ashtari, P. and Rahami, H. "New development of artificial record generation by wavelet theory", *Structural Engineering and Mechanics*, **22**(2), pp. 185-195 (2006).
- Daubechies, I., *Ten Lectures on Wavelets*, CBMS-NSF Conference Series in Applied Mathematics, Montpelier, Vermont (1992).
- Wickerhauser, M.V., *Adapted Wavelet Analysis from Theory to Software*, Peters. A.K. Wellesley, M.A (1994).
- Jaffard, S.; Meyer, Y. and Ryan, R.D., *Wavelets: Tools for Science & Technology*, Society for Industrial and Applied Mathematics, Philadelphia (2001).
۱۴. منهاج، محمد باقر «هوش مجامیاتی (جلد اول)، مبانی شبکه های عصبی» انتشارات مرکز نشر پروفسور حسابی، (شهریور ۱۳۷۷)
۱۵. منهاج، محمد باقر و سیفی پور، نوید «هوش مجامیاتی (جلد دوم)، کاربرد هوش مجامیاتی در کنترل»، انتشارات مرکز نشر پروفسور حسابی (بهمن ۱۳۷۷)
- Coifman, R.R., and Wickerhauser, M.V., "Entropy-based algorithms for best-basis selection," *IEEE Trans. on Inf. Theory*, **28** (2), 713-718 (1992).
- Ghodrati Amiri, G. and Asadi, A. "Processing ground motion records by using an advanced method in wavelet packet", *International Journal of Engineering Science, Iran University of Science & Technology* (Submitted for review) (2009).
۱۸. رمضانی، حمید رضا، «داده های پایه شبتابنگاشت های شبکه شبتابنگاری کشور» مرکز تحقیقات ساختمان و مسکن، نشریه ۲۵۶ (۱۳۷۹)
- MATLAB Reference Guide, the Math Works Inc (1999).
- Naeim, F. "The Seismic Design Handbook", Van Nostrand (1999).